



E41011

เอกสารและอุปกรณ์ที่จำเป็นต่อการพัฒนาชีวภาพเด็ก

นรนท.หนังสือ ให้สถาบันฯ

ผู้ดูแลเด็กและเยาวชน ให้ความสำคัญต่อการพัฒนาเด็กอย่างยั่งยืน ให้เด็กได้รับการสนับสนุนทางด้านร่างกาย จิตใจ และสังคม ให้เด็กได้รับการฝึกอบรมในเชิงปฏิบัติ ให้เด็กได้รับการสนับสนุนทางด้านร่างกาย จิตใจ และสังคม ให้เด็กได้รับการฝึกอบรมในเชิงปฏิบัติ ปี พ.ศ. ๒๕๖๐
ผู้ดูแลเด็กและเยาวชน ให้ความสำคัญต่อการพัฒนาเด็กอย่างยั่งยืน ให้เด็กได้รับการสนับสนุนทางด้านร่างกาย จิตใจ และสังคม ให้เด็กได้รับการฝึกอบรมในเชิงปฏิบัติ ให้เด็กได้รับการสนับสนุนทางด้านร่างกาย จิตใจ และสังคม ให้เด็กได้รับการฝึกอบรมในเชิงปฏิบัติ ปี พ.ศ. ๒๕๖๐
ผู้ดูแลเด็กและเยาวชน ให้ความสำคัญต่อการพัฒนาเด็กอย่างยั่งยืน ให้เด็กได้รับการสนับสนุนทางด้านร่างกาย จิตใจ และสังคม ให้เด็กได้รับการฝึกอบรมในเชิงปฏิบัติ ให้เด็กได้รับการสนับสนุนทางด้านร่างกาย จิตใจ และสังคม ให้เด็กได้รับการฝึกอบรมในเชิงปฏิบัติ ปี พ.ศ. ๒๕๖๐

600255381

ห้องสมุดงานวิจัย สำนักงานคณะกรรมการการอุดมศึกษา



E41011

「โฉมหน้าและอุณหภูมิเซ็นเซอร์จากพอลิไดอะเซทิลีน

นายอนุพัทธ์ พอดิสกิตย์เนยง



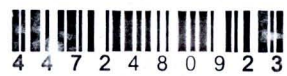
วิทยานิพนธ์นี้เป็นส่วนหนึ่งของการศึกษาตามหลักสูตรปริญญาวิทยาศาสตรดุษฎีบัณฑิต

สาขาวิชาเคมี ภาควิชาเคมี

คณะวิทยาศาสตร์ จุฬาลงกรณ์มหาวิทยาลัย

ปีการศึกษา 2550

ลิขสิทธิ์ของจุฬาลงกรณ์มหาวิทยาลัย



4 4 7 2 4 8 0 9 2 3

ION AND TEMPERATURE SENSOR FROM POLYDIACETYLENE

Mr. Anupat Potisatityuenyong

A Dissertation Submitted in Partial Fulfillment of the Requirements
for the Degree of Doctor of Philosophy Program in Chemistry

Department of Chemistry

Faculty of Science

Chulalongkorn University

Academic Year 2007

Copyright of Chulalongkorn University

Thesis Title ION AND TEMPERATURE SENSOR FROM POLYDIACETYLENE
By Mr. Anupat Potisatityuenyong
Field of Study Chemistry
Thesis Advisor Associate Professor Mongkol Sukwattanasinitt, Ph.D.
Thesis Co-advisor Associate Professor Thawatchai Tuntulani, Ph.D.

Accepted by the Faculty of Science, Chulalongkorn University in Partial Fulfillment of
the Requirements for the Doctoral Degree


..... Dean of the Faculty of Science
(Professor Supot Hannongbua, Ph.D.)

THESIS COMMITTEE


..... Chairman
(Professor Sophon Roengsumran, Ph.D.)


..... Thesis Advisor
(Associate Professor Mongkol Sukwattanasinitt, Ph.D.)


..... Thesis Co-advisor
(Associate Professor Thawatchai Tuntulani, Ph.D.)


..... Member
(Associate Professor Tirayut Vilaivan, Ph.D.)


..... Member
(Assistant Professor Aroonsiri Shitangkoon, Ph.D.)


..... Member
(Assistant Professor Toemsak Srihirin, Ph.D.)

นาย อนุพัทธ์ โพธิสติดยืนยง : ไออ่อนและอุณหภูมิเซ็นเซอร์จากพอลิไดออกซิลีน. (ION AND TEMPERATURE SENSOR FROM POLYDIACETYLENE) อ. ที่ปรึกษา : รศ.ดร. มงคล สุขวัฒนาสินทิธี อ. ที่ปรึกษาร่วม รศ.ดร. นวัชชัย ตันทุลานิ, 111 หน้า.

E41011

พอลิไดออกซิลีนเป็นคอนจูเกตพอลิเมอร์ที่นำสนใจโดยมีคุณสมบัติทางสีที่สามารถประยุกต์ใช้ในงานด้านเซ็นเซอร์ แต่ทว่าในงานวิจัยเกี่ยวกับพอลิไดออกซิลีนยังต้องการความเข้าใจเกี่ยวกับกลไกการเปลี่ยนแปลงสี และการพัฒนาการใช้งานให้สอดคล้องในงานวิจัยนี้ประสบความสำเร็จในการเตรียมฟิล์มบางแบบหลายชั้นที่เตรียมจากพอลิเมอร์ประจุบวก ไคโตซานหรือพอลิเออทิลีนออมฟีน และพอลิเมอร์ประจุลบของ พอลิ 10,12-เพนตะโคไซด์ไดอะโนิก แอซิด เวสิเคล โครงสร้างทรงกลมรวมถึงคุณสมบัติทางสีที่สำคัญของเวสิเคลยังคงสภาพในฟิล์ม กลไกการเปลี่ยนสีของพอลิไดออกซิลีนเวสิเคลศึกษาโดยการดูดกลืนแสงระบุการเปลี่ยนแปลงของหมู่ข้างเคียงของพอลิเมอร์สองชนิด ได้แก่ การเปลี่ยนแปลงที่ผันกลับได้ของสายโซ่แล้วฟิล์มและการเปลี่ยนแปลงที่ผันกลับไม่ได้ของสารสลายพันธุ์ไฮโดรเจน ในการเปลี่ยนแปลงสีโดยอุณหภูมิกลไกการเปลี่ยนสีเริ่มจากการเปลี่ยนค่าฟอร์มเมชันของหมู่ข้างเคียงแบบผันกลับได้ซึ่งทำให้เกิดเวสิเคลสีม่วงตามด้วยการสลายตัวของพันธุ์ไฮโดรเจน ในการเปลี่ยนแปลงสีตามตัวทำละลายอ่อนลลและค่าความเป็นกรด กลไกการเปลี่ยนสีเริ่มจากการควบรวมที่พื้นผิวของเวสิเคลโดยตรงทำให้พันธุ์ไฮโดรเจนแตกออก เซ็นเซอร์ตรวจจับไออ่อนของตะกั่วชนิดที่มีความจำเพาะเจาะจงสูงซึ่งพัฒนาขึ้นโดยอาศัยการเพิ่มความว่องไวต่อแรงกระทำที่พื้นผิวของพอลิไดออกซิลีนด้วยสารประกอบเบอโรว์ระหว่าง ไตรเอทิลไอกลคอลกับ 10,12-เพนตะโคไซด์ไดอะโนิก แอซิด นอกจากนี้ สีสกปรกที่เปลี่ยนแปลงตามอุณหภูมิยังได้รับการพัฒนาจาก พอลิไดออกซิลีนเพื่อใช้เป็นฉลากที่ว่องไวต่ออุณหภูมิ

ภาควิชา.....เคมี..... ลายมือชื่อนิสิต... อนุรักษ์ ใจดีกาญจน์.....
 สาขาวิชา.....เคมี..... ลายมือชื่ออาจารย์ที่ปรึกษา.....
 ปีการศึกษา.....2550..... ลายมือชื่ออาจารย์ที่ปรึกษาร่วม... นพดิษฐ์ ศักดา.....

4472480923 : MAJOR CHEMISTRY

KEYWORD : SENSOR / POLYDIACETYLENE / LAYER BY LAYER/
POLYELECTROLYTE

ANUPAT POTISATITYUENYONG : ION AND TEMPERATURE
SENSOR FROM POLYDIACETYLENE. THESIS ADVISOR:
ASSOC.PROF. MONGKOL SUKWATTANASINITT, Ph.D., THESIS CO-
ADVISOR: ASSOC.PROF. THAWATCHAI TUNTULANI, Ph.D., 111 pp.

E41011

Polydiacetylene (PDA) is an interesting class of conjugated polymer having unique chromic properties suitable for many sensing applications. Although extensive research in PDA for sensing applications have been reported, there is still research gaps in understanding of its color transition mechanism and developing it into a convenient to use platform with high sensitivity and selectivity. In this dissertation, polyelectrolyte multilayer (PEM) thin films using either chitosan or poly(ethylenimine) as a polycation and polymerized 10,12-pentacosadiynoic acid vesicles (poly(PCDA)) as a polyanion are successfully prepared. The spherical structures of vesicles, as well as their important chromic properties are retained in the PEM films. Color transition mechanism of poly(PCDA) vesicles probed by electronic absorption spectroscopy indicates two types of sidechain movement: the reversible conformational change of the aliphatic chains and the irreversible hydrogen bond breaking. In the thermochromism, the transition starts with reversible conformational alteration of methylene side chains leading to metastable purple vesicles followed by the hydrogen bonds breaking. In the ethanolochromism and alkalinochromism, the processes are however induced at the vesicle-media interface, directly bringing about the hydrogen bond breaking. The highly selective colorimetric lead ion sensor is developed based on the interaction at the poly(PCDA) vesicle surface using triethylene glycol ester of PCDA (TEGPCDA) as the sensitivity enhancer. Furthermore, thermochromic screen ink is also developed from poly(PCDA) for temperature sensitive labeling.

Department.....Chemistry.....Student's signature.....Anupat Potisatityuenyong.....

Field of study.....Chemistry.....Advisor's signature.....Mongkol Suwattanassit.....

Academic year.....2007.....Co-advisor's signature.....S. O. Sumtulan.....

ACKNOWLEDGEMENTS

I would like to express my gratitude and dedicate this work to my family for their encouragement and support throughout the whole course of my Ph.D. program, especially my parents who always are by my side during my hard times.

I would like to express my appreciation to my advisor, Assoc. Prof. Dr. Mongkol Sukwattanasinitt, Assoc. Prof. Dr. Thawatchai Tuntulani and Prof. Dr. Quan Cheng, who always give me invaluable suggestions about research and pay a great attention to facilitate me during this long work. Without these two people I could not reach my goal.

I would like to thank Dr. Anawat Ajawakom, Dr. Rojrit Rojanathanes, Dr. Stephan T. Dubas and Dr. Gamolwan Tumcharern for sharing experience and also giving me good suggestion.

I also appreciate and would like to thank many people for their supports: my friends in the whole Department of Chemistry, Chulalongkorn University, who always being so delightful to me and also I would like to express many thanks to my friends in the Department of Chemistry, University of California Riverside.

I am thankful the Thailand Research Fund (Grant No.PHD/0123/2547) and Chulalongkorn University Graduate Scholarship. These scholarships have greatly smoothen my student life.

CONTENTS

	Page
Abstract (Thai).....	iv
Abstract (English).....	v
Acknowledgements	vi
Contents	vii
List of Tables.....	x
List of Figures	xi
List of Abbreviations and Signs	xvii
List of Numbered Compounds	xviii
CHAPTER I Introduction	1
1.1 POLYDIACETYLENE.....	1
1.2 POLYDIACETYLENE VESICLES	2
1.3 POLYDIACETYLENE FILMS.....	3
1.3.1 LANGMUIR-BLODGETT FILM.....	3
1.3.2 COVALENTLY LINKED POLYDIACETYLENE VESICLES ON THE SUBSTRATE SURFACE	3
1.3.3 POLYELECTROLYTE MULTILAYERS FILMS.....	6
1.4 OPTICAL AND ELECTRONIC PREPRTIES	9
1.4.1 CHROMISM PROPERTIES.....	10
1.5 APPLICATION OF PDA VESICLES AS SENSING MATERIAL	18
1.6 INTERACTION OF METAL ION WITH FUNCTIONALIZED LIPID MEMBRANE..	24
1.7 OBJECTIVES AND SCOPE OF THESIS.....	28
CHAPTER II Experimental Section.....	29
2.1 VESICLE PREPARATION AND POLYMERIZATION	31
2.2 CHARACTERIZATION OF POLYDIACETYLENE VESICLE	32
2.3 MECHANISM OF CHROMIC TRANSITION	32
2.4 PREPARATION OF THE LAYER BY LAYER DEPOSITION OF POLYDIACETYLENE VESICLE	33

	Page
2.4.1 STUDY OF DEPOSITION CONDITION ON POLYDIACETYLENE VESICLE	33
2.4.2 CHROMIC PROPERTIES OF POLYDIACETYLENE FILMS	35
2.5 DEVELOPMENT OF METAL ION SENSOR FROM POLYDIACETYLENE VESICLE	36
2.5.1 RESPONSES OF POLY(PCDA) SOL TO TRANSITION METAL IONS	36
2.5.2 SYNTHESIS OF TRIETHYLENE GLYCOL ESTER OF 10,12 PENTACOSADIYNOIC ACID.....	36
2.5.3 MOLECULAR ASSEMBLY OF TRIETHYLENE GLYCOL ESTER OF TEGPCDA MIXED WITH PCDA	37
2.5.4 STUDY OF COLORIMETRIC RESPONSE OF TEGPCDA/PCDA VESICLE INDUCED INDUCED BY METAL IONS	37
2.6 STUDY OF THERMOCHROMISM OF TEGPCDA/PCDA VESICLE.....	38
2.7 FABRICATIONS OF POLYDIACETYLENE AS TEMPERATURE SENSITIVE LABELS	38
CHAPTER III Results and Discussion	40
3.1 VESICLE PREPARATION AND POLYMERIZATION.....	40
3.2 CHARACTERIZATION OF POLY(PCDA) SOL	43
3.3 MECHANISM OF CHROMIC TRANSITION OF POLY(PCDA) VESICLES	44
3.4 LAYER BY LAYER DEPOSITION OF POLY(PCDA) VESICLES.....	49
3.4.1 DEPOSITION OF CHITOSAN/POLY(PCDA) VESICLE FILM	51
3.4.2 DEPOSITION OF POLYETHYLENIMINE/POLY(PCDA)VESICLE FILM .	54
3.4.3 EFFECT OF pH OF THE SOLUTIONS USED IN THE PREPARATION OF PEM FILMS	56
3.4.4 CHARACTERIZATION OF THE PEM FILMS	56
3.4.5 CHROMIC PROPERTIES OF PEM FILMS COMPARING WITH THE VESICLE SOLUTION	59
3.5 DEVELOPMENT OF METAL ION SENSOR FROM POLY(PCDA) VESICLES	62
3.5.1 RESPONSES OF POLY(PCDA) SOL TO TRANSITION METAL IONS	62
3.5.2 SYNTHESIS OF TRIETHYLENE GLYCOL ESTER OF 10,12 PENTACOSADIYNOIC ACID	63

	Page
3.5.3 MOLECULAR ASSEMBLY OF TEGPCDA MIXED WITH PCDA	65
3.5.4 COLOR CHANGE OF TEGPCDA MIXED WITH PCDA.....	67
3.5.5 COLORIMETRIC RESPONSE INDUCED BY LEAD (II) ION	67
3.6 THERMOCHROMISM OF TEGPCDA/PCDA VESICLES	72
3.7 FABRICATION OF POLYDIACETYLENE AS TEMPERATURE SENSITIVE LABELS	75
3.7.1 PRINTING & WRITING INK	76
3.7.2 POLYVINYL ALCOHOL FILMS	78
3.7.3 POLYVINYL CHLORIDE BASED SCREEN INK	81
CHAPTER IV Conclusion	86
References	88
Appendix A NMR Spectra	97
Appendix B Thailand Innovation Award 2007.....	99
Appendix C Reprint	100
Curriculum Vitae.....	111

LIST OF TABLE

	Page
Table 3.1 Preparation condition of LBL deposition of PEI films	55

LIST OF FIGURES

	Page
Figure 1.1 Packing parameters required for the topological polymerization of a diacetylene monomer.....	1
Figure 1.2 Structure of polydiacetylene vesicle.....	2
Figure 1.3 Preparation of Langmuir Blodgett film.....	3
Figure 1.4 Immobilized polydiacetylene vesicle by disulfide modified diacetylene	4
Figure 1.5 Immobilized polydiacetylene vesicle onto aldehyde modified-glass.....	5
Figure 1.6 Immobilized polydiacetylene vesicle onto modified-glass by amide linkage.....	6
Figure 1.7 Preparation of polyelectrolyte multilayer film (PEM).....	7
Figure 1.8 Deposition of a bolaamphiphile diacetylene monomer on PSS/PAH coated glass	7
Figure 1.9 Deposition of unpolymerized diacetylene vesicle between PCDA and PCDA-NH ₂	8
Figure 1.10 Structure of DADMDPA-bis-PCDA and PSS	8
Figure 1.11 Color of polydiacetylene gel G3 to G8.	9
Figure 1.12 Absorption spectrum of PCDA-mBzA which show thermochromic reversibility.....	11
Figure 1.13 Polydiacetylene nanofiber gel with thermochromic reversibility between purple to red.	11
Figure 1.14 Thermochromism of polydiacetylene nanotube.	12
Figure 1.15 Thermochromic reversibility of polydiacetylene blended with poly(vinyl pyrrolidone)	12
Figure 1.16 Thermochromic reversibility of poly(benzyl-10,12-pentacosadiynoate)	13
Figure 1.17 Solvatochromism of PC4BU	14
Figure 1.18 Polydiacetylene embedded electrospun fiber.....	15
Figure 1.19 Optical absorption of the titration of 0.5 mM poly(TCDA)vesicle with 0.1 N NaOH solution.....	16
Figure 1.20 Colorimetric response of amino acid terminate polydiacetylene vesicle as a function of solution pH.....	16

	Page
Figure 1.21 Reversible of alkalinochromic and acidochromic of hydrazine modified polydiacetylene	17
Figure 1.22 Computer models of geometry-optimized propanohydrazide	17
Figure 1.23 Schematic diagram of the influenza virus sensor.	18
Figure 1.24 Diagram of the influenza virus sensor based on polydiacetylene vesicle	19
Figure 1.25 Diagram of the cholera toxin sensor based on polydiacetylene film	19
Figure 1.26 Colorimetric response of GM1 incorporated polydiacetylene langmuir film as a function of cholera toxin concentration.	20
Figure 1.27 Schematic descriptions of the phospholipid/PDA vesicle and the chromatic transition of artificial membrane	20
Figure 1.28 Visible absorption spectra of mixed vesicle after incubated with SLO	21
Figure 1.29 Structure of three calixarenes use in protein sensor and schematic structure of the receptor/phospholipid/PDA assemblies	22
Figure 1.30 Colorimetric response of the calix receptor/PC/PDA system to protein addition.....	22
Figure 1.31 Schematic diagram of an inclusion complex of polydiacetylene vesicle and α -CD	23
Figure 1.32 Picture of a well plate containing: valinomycin/PC/PDA and Monensin/PC/PDA solutions after addition of ions.	24
Figure 1.33 Titration of the ion selective cation sensor with alkaline ion	24
Figure 1.34 Crown six ether modified lipid with pyrene fluorophore.	25
Figure 1.35 Illustration of the dispersion of initially aggregated receptor-lipids in a phospholipid membrane upon metal ion recognition.....	27
Figure 1.36 TEM image of a self-assembled, columnar structured lipid bilayer stack t of 5%PSIDA/phospholipid after Cu ²⁺ addition.....	28
Figure 3.1 Appearance of PCDA hydrocolloid irradiated with UV light.....	40
Figure 3.2 Adsorbance at 640 nm of the UV-irradiated PCDA hydrocolloid as a function of the chilling period.	41
Figure 3.3 Electronic absorption spectra of UV-irradiated PCDA hydrocolloid at variable irradiation time.	42

	Page
Figure 3.4 Shifting of the maximum wavelength of PCDA hydrocolloid along the UV-irradiation time.....	42
Figure 3.5 Plot of A_{590}/A_{630} of the UV-irradiated PCDA hydrocolloid as function of polymerization time	43
Figure 3.6 Dynamic light scattering spectrum and TEM image of poly PCDA vesicles	43
Figure 3.7 Absorption spectra of blue phase (20°C) and red phase (90°C) poly(PCDA) vesicles.	44
Figure 3.8 Absorption spectra of poly(PCDA) vesicle aqueous solution	46
Figure 3.9 Proposed side chain movement in the chromic transitions of poly(PCDA) vesicles	47
Figure 3.10 FT-Raman spectra of poly(PCDA) vesicles before and after being heated to 90 °C.	48
Figure 3.11 Schematic representation of layer-by-layer techniques for deposition of polydiacetylene vesicles.	51
Figure 3.12 Absorbance at 540 nm of chitosan/poly(PCDA) PEM films.....	52
Figure 3.13 Electronic absorbance of 10-layered films at 540 nm prepared by varying the dipping time	53
Figure 3.14 Electronic absorbance of six-layered films at 540 nm prepared by varying the dipping time in the sixth cycle of the layer-by-layer deposition.....	54
Figure 3.15 Proposed charge interaction derived from an ion exchange process responsible for the adsorption of chitosan and vesicles in the PEM film formation.....	55
Figure 3.16 Electronic absorbance of 20-layered PEM films at 639 nm.....	56
Figure 3.17 Electronic absorbance at 640 nm of chitosan/poly(PCDA) and PEI/poly(PCDA).	57
Figure 3.18 AFM images of chitosan/poly(PCDA) vesicles in a 20-layered PEM film.....	58
Figure 3.19 Color photographs of typical 20-layered chitosan/poly(PCDA) PEM films on glass substrates	58
Figure 3.20 The colorimetric response (%CR) as a function of EtOH content for poly(PCDA) sol and PEM film.....	59

	Page
Figure 3.21 The colorimetric response (%CR) as a function of pH for poly(PCDA) sol, and PEM films.....	60
Figure 3.22 Color photographs of 12-layered chitosan/poly(PCDA) films in various pH phosphate buffer (100 mM).....	60
Figure 3.23 The colorimetric response (%CR) as a function of temperature for poly(PCDA) sol and PEM films.....	61
Figure 3.24 Color photographs of poly(PCDA) sol in the presence of Hg^{2+} , Pb^{2+} and Zn^{2+}	62
Figure 3.25 Synthesis of triethylene glycol ester of 10, 12-pentacosadiynoic acid (TEGPCDA).....	63
Figure 3.26 1H -NMR spectrum of TEGPCDA in $CDCl_3$	64
Figure 3.27 ESI-MS spectrum of TEGPCDA using positive ionization mode.....	64
Figure 3.28 Color photographs of TEGPCDA and PCDA mixed lipid suspension.....	65
Figure 3.29 Proposed assemblies of TEGPCDA/PCDA mixed lipid.....	66
Figure 3.30 Color photograph of polymerized mixed lipid sol containing 20:80 mole ratio of TEGPCDA/PCDA after the addition of 5 mM metal ions	67
Figure 3.31 Aqueous suspension of TEGPCDA/PCDA mixed lipid (0.5 mM) containing various content of TEGPCDA.....	68
Figure 3.32 Colorimetic response of 50 μM TEGPCDA/PCDA vesicle with 1mM Pb^{2+} ion as function of time	69
Figure 3.33 The colorimetric response of embedded 20% TGPCDA/PCDA vesicle after additional Pb^{2+} 1000 μM in pH 6 acetate buffer.....	69
Figure 3.34 The colorimetric response of embedded 20% TEGPCDA/PCDA vesicle after additional Pb^{2+} in water and 10 mM, pH 6 acetate buffer.....	70
Figure 3.35 The colorimetric response of poly(TEGPCDA/PCDA) sol (20:80 mole ratio and 50 μM of total lipid) after addition of Pb^{2+}	71
Figure 3.36 The colorimetric response of 30%TEGPCDA/PCDA vesicle after additional 1 mM of various metal ions in 10 mM acetate buffer solution pH 6.0.....	72
Figure 3.37 The visible absorption of an embedded 20% TEGPCDA/PCDA vesicle, a mixing of TEGPCDA (20% mole) with PCDA vesicle and PCDA vesicle at 540 nm along the heatin.....	73

	Page
Figure 3.38 Absorption of an embedded TEGPCDA/PCDA vesicle at 540 nm along the heating.....	73
Figure 3.39 The dA/dT of absorption of an embedded TEGPCDA/PCDA vesicle at 540 nm along the heating.....	74
Figure 3.40 Turbidity of PCDA and TEGPCDA suspension at 540 nm along the heating cycles.....	74
Figure 3.41 Structures of diacetylene monomers used in the development of temperature sensing labels and the thermochromic attributes of the corresponding polydiacetylenes.....	76
Figure 3.42 Color photographs of polydiacetylene sols undergoing thermochromic transition.....	77
Figure 3.43 Graphic images, produced by 5 times reprinting from an inkjet printer using 1 mM poly(EBPCDA) sol as an ink.....	77
Figure 3.44 Images, produced by a fountain pen using 12 mM poly(EBPCDA) sol as an ink, before and after heating with a hair blower.....	78
Figure 3.45 Pictorial illustration of preparation of PVA film containing polydiacetylene vesicles.....	79
Figure 3.46 Color photographs of polydiacetylene /PVA film upon thermochromic transition.....	79
Figure 3.47 Color photographs showing the reversibility of thermochromic film fabricated from PVA containing poly(EBPCDA).	80
Figure 3.48 Example of pplication of thermochromic PVA films containing poly(PCDA) and poly(EBPCDA) vesicles as dual active labels for frozen food.	80
Figure 3.49 Screening of temperature indicating screen ink.	82
Figure 3.50 A color of temperature indicating label of PCDA screen ink after stimulated by heat.....	82
Figure 3.51 Polymerization of temperature indicating MPCDA screen ink in an ice bath.	82
Figure 3.52 A using of PCDA temperature indicating label with frozen food.	83
Figure 3.53 Using of temperature indicating label with hot cup.	84
Figure 3.54 Using of MPCDA temperature indicating label with pasteurized milk.	84
Figure 3.55 A temperature indicating label screening on polyester (PET) sheet.	85

	Page
Figure A.1 ^1H NMR of triethylene glycol ester of 10,12-pentacosadiynoic	97
Figure A.2 ^{13}C NMR of triethylene glycol ester of 10,12-pentacosadiynoic acid.....	97
Figure A.3 ^1H NMR spectrum of methyl 10,12-pentacosadiynoate.....	98
Figure B.1 Winning the first runner up in Thailand innovation awards 2007 for innovation product and business plan.....	99

List of Abbreviations and Signs

\AA	Angstrom
AFM	Atomic force microscopy
$^{13}\text{C-NMR}$	Carbon nuclear magnetic resonance
cm	Centimeter
δ	Chemical shift
%CR	% Colorimetric response
J	Coupling constant
$^{\circ}\text{C}$	Degree celsius
DLS	Dynamic light scattering
g	Gram
Hz	Hertz
kcal	Kilocalorie
mL	Millilitre
mmol	Millimole
M	Molar
nm	Nanometer
ppm	Part per million
cm^{-1}	Per centimetre
M^{-1}	Per molar
$^1\text{H-NMR}$	Proton nuclear magnetic resonance
TEM	Transmission electron microscope
UV/vis	Ultra violet-visible
λ	Wavelength

List of Numbered Compounds

α-CD	alpha-cyclodextrin
AEP CDA	aminoethyl-10,12-pentacosadiynamide
PCDANH₂	aminoethyl-10,12-pentacosadiynamide
CHO	cholesterol
EBPCDA	<i>N,N'</i> -ethylene-bis-(10,12-pentacosadiynamide)
MPCDA	methyl-10,12-pentacosadiynoate
PCDA	10,12-pentacosadiynoic acid
PC	phosphatidylcholine
PAH	poly(allylamine hydrochloride)
PDA	polydiacetylene
PEM	polyelectrolyte multilayer
PEI	poly(ethylenimine)
Poly(PCDA)	poly(10,12-pentacosadiynoic acid)
Poly(TCDA)	poly(10,12-tricosadiynoic acid)
PCDA-mBza	10,12-pentacosadiynamide of <i>m</i> -aminobenzoic acid
PSS	poly(styrene sulfonate)
PVA	poly(vinyl alcohol)
PVC	poly(vinyl chloride)
SLO	steptolysin
TEGPCDA	triethylene glycol ester of-10,12-pentacosadiynoic acid